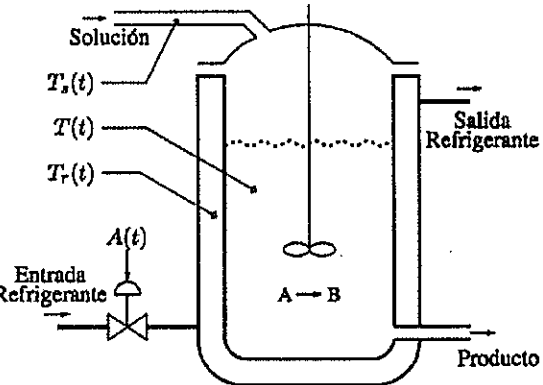


Certamen #2 – ELO270 – S2 2016

Soluciones

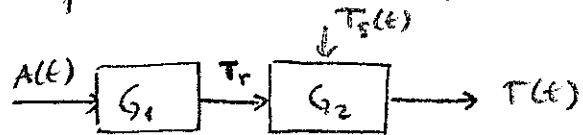
Problema 2.1 (10 puntos) En el tanque de la figura se hace reaccionar A para obtener B con un agitador. La reacción genera calor, por lo cual interesa mantener controlada su temperatura $T(t)$, manipulando la apertura $A(t)$ de una válvula que determina el flujo de refrigerante a las paredes del tanque. $T_s(t)$ es la temperatura de la solución que ingresa al tanque. $T_r(t)$ es la temperatura del refrigerante en las paredes del tanque.

Discuta qué arquitecturas de control se podrían utilizar.



Solución

El modelo esquemático del estanque es



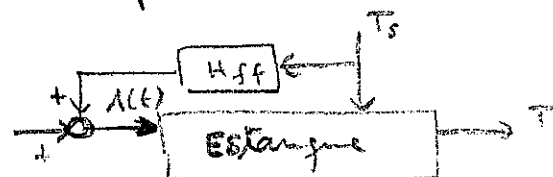
$A(t)$: actuación disponible

$T(t)$: temperatura a controlar

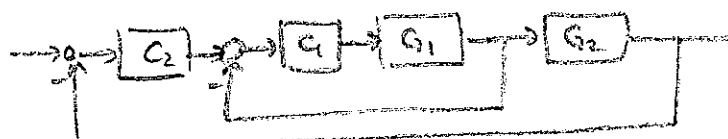
$T_r(t)$: variable interna (que puede o no medirse)

$T_s(t)$: perturbación (que puede o no medirse)

i) Si se mide $T_s(t)$ podría hacerse prealimentación de perturbación:



ii) Si se mide $T_r(t)$ podría hacerse control en cascada



(Este además del control usual en un régimen de un grado de libertad)

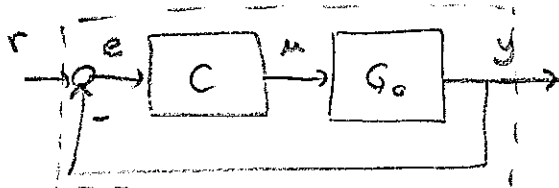
(También es posible aplicar i) y ii) simultáneamente)

Problema 2.2 (10 puntos) En un lazo de control de un grado de libertad, el controlador y la planta están dados por los siguientes modelos de estado:

$$G_o \begin{cases} \dot{x}(t) = -2x(t) + u(t) \\ y(t) = 3x(t) \end{cases} \quad C \begin{cases} \dot{x}_c(t) = u_c(t) \\ y_c(t) = 2x_c(t) + u_c(t) \end{cases}$$

Determine si el lazo cerrado es completamente controlable y/o completamente observable.

Solución



Las ecuaciones de la interconexión son

$$u = y_c$$

$$u_c = e = r - y$$

Por tanto el modelo de estados del lazo cerrado es

$$\begin{array}{l} \text{estados} \\ \left\{ \begin{array}{l} \dot{x} = -2x + y_c = -2x + 2x_c + (r - y) = -2x + 2x_c + (r - 3x) \\ \dot{x}_c = u_c = r - y = -3x + r \end{array} \right. \end{array}$$

$$\text{salidas} \quad y = 3x$$

$$\Rightarrow \frac{d}{dt} \begin{bmatrix} x \\ x_c \end{bmatrix} = \begin{bmatrix} -2 & 2 \\ -3 & 0 \end{bmatrix} \begin{bmatrix} x \\ x_c \end{bmatrix} + \begin{bmatrix} 1 \\ 1 \end{bmatrix} r$$

$$y = \begin{bmatrix} 3 & 0 \end{bmatrix} \begin{bmatrix} x \\ x_c \end{bmatrix}$$

$$\text{Matriz de controlabilidad: } W_c = [B \ AB] = \begin{bmatrix} 1 & -3 \\ 1 & -3 \end{bmatrix} \Rightarrow |W_c| = 0$$

ya es completamente
controlable

$$\text{Matriz de observabilidad: } W_o = \begin{bmatrix} C \\ CA \end{bmatrix} = \begin{bmatrix} 3 & 0 \\ -15 & 6 \end{bmatrix}$$

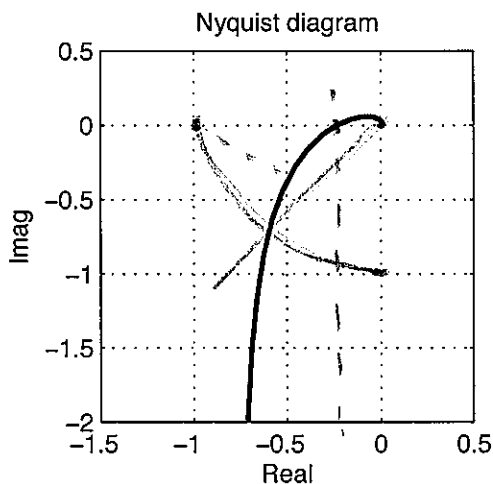
$\Rightarrow |W_o| \neq 0$ si es completamente
observable

También puede hacerse usando funciones transferencia:

$$\left. \begin{array}{l} G_o = 3 \frac{1}{s+2} + 0 = \frac{3}{s+2} \\ C = 2 \frac{1}{s} + 1 = \frac{s+2}{s} \end{array} \right\} T_o = \frac{3}{s+3} \Rightarrow \text{hay canulocia} \Rightarrow \text{hay un modo } (e^{-2t}) \text{ que es NO controlable y NO observable})$$

Problema 2.3 (10 puntos) En la figura se muestra el diagrama de Nyquist de una transferencia de lazo abierto $G_o(s)C(s)$, con integración y estrictamente propia.

Determine aproximadamente el margen de ganancia, el margen de fase, y un diagrama de $|S_o(j\omega)|$ en función de ω .



Solución

i) Se aprecia que el Nyquist corta al eje real negativo aproximadamente en $-0.25 = -\frac{1}{4}$

$$\Rightarrow M_g = -20 \log_{10} \left(\frac{1}{4} \right) \approx 40 \cdot 0.3 = 12 \text{ [dB]}$$

ii) Se aprecia que el módulo del Nyquist es 1 para un ángulo de aproximadamente $-135^\circ = -\frac{3\pi}{4}$

$$\Rightarrow M_\phi = \frac{\pi}{4}$$

iii) Recordemos que $|S_o| = \left| \frac{1}{1+G_o C} \right|$

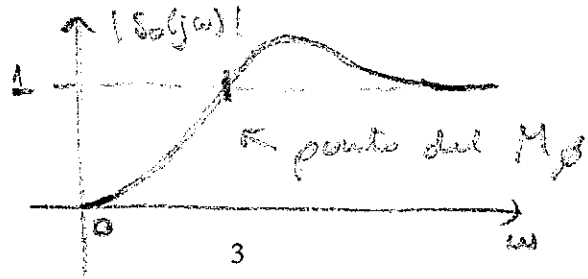
Hay tres puntos que pueden estimarse del gráfico

$$\omega \rightarrow 0 \Rightarrow |G_o C| \rightarrow \infty \Rightarrow |S_o| \rightarrow 0$$

$$\omega \rightarrow \infty \Rightarrow |G_o C| \rightarrow 0 \Rightarrow |S_o| \rightarrow 1$$

mínima distancia de $G_o C$ jas al $(-1,0) \approx \frac{2}{3} \Rightarrow \max \left| \frac{1}{1+G_o C} \right| \approx \frac{3}{2}$

Por tanto



Problema 2.4 (10 puntos) Considere una planta con modelo nominal

$$G_0(s) = \frac{e^{-0.2s}}{s-1}$$

Determine un controlador estabilizante que garantice rechazo a perturbaciones en la banda de 0 a 6 [rad/s], indicando claramente cómo toma en cuenta los requisitos de diseño y la información disponible.

Solución

- Rechazo a perturbación para $\omega \in [0, 6] \Rightarrow B_w(A_d) > 6$
- Polo inestable en $s=1 \Rightarrow B_w(A_d) > 1$ para reducir overshoot
- Retardo: - si se desprecia $\Rightarrow B_w(A_d) < \frac{1}{\alpha_2} = 5$ para garantizar $|T_b G_0| < 1$
- si se usa Pade de primer orden
 $\Rightarrow B_w(A_d) < \frac{3}{\alpha_2} = 15$ para garantizar $|T_b G_0| < 1$
- No se puede usar predictor de Smith (G_0 inestable)

Por tanto, se utiliza asignación de polos para la planta

$$\tilde{G}_0(s) = \frac{1-s\frac{\tau}{2}}{1+s\frac{\tau}{2}} \frac{1}{s-1} = \frac{s+10}{(s+10)(s-1)} \Rightarrow M=2 \quad r=1 \text{ (integación en C)}$$

y elegir un controlador tal que $6 < B_w(A_d) < 15$

$$A_d = A_0 + B_0 P$$

$$(s+10)(s^2 + 2\zeta_{w_n}s + w_n^2) = (s+10)(s-1)s(s+\zeta_0) + (s+10)(P_2 s^2 + P_1 s + P_0)$$

$$\overline{\begin{array}{l} w_n = 8 \\ \zeta = 0.75 \end{array}}$$

$$C(s) = \frac{(s+10)(P_1 s + P_0)}{s(s+\zeta_0)}$$

cancelación estable

Resolviendo:

$$(s+10)(s^2 + 6s + 64) = (s^2 + (l_0 - 1)s - l_0) + (\tilde{p}_1 s^2 + (\tilde{p}_0 - 10\tilde{p}_1)s - 10\tilde{p}_0)$$

$$s^3 + 16s^2 + 124s + 640 = s^3 + (l_0 - 1 + \tilde{p}_1)s^2 + (-l_0 + \tilde{p}_0 - 10\tilde{p}_1)s + (-10\tilde{p}_0)$$

$$\begin{aligned} \Rightarrow l_0 - 1 + \tilde{p}_1 &= 16 \\ -l_0 + \tilde{p}_0 - 10\tilde{p}_1 &= 124 \\ -10\tilde{p}_0 &= 640 \end{aligned} \quad \Rightarrow \tilde{p}_0 = -64$$

$$\begin{aligned} l_0 + \tilde{p}_1 &= 17 \\ -l_0 - 10\tilde{p}_1 &= 188 \end{aligned}$$

$$-9\tilde{p}_1 = 205 \Rightarrow \tilde{p}_1 = -\frac{205}{9}$$

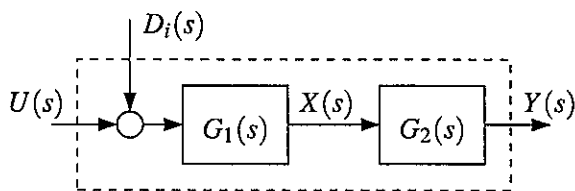
$$\Rightarrow l_0 = 17 + \frac{205}{9} = \frac{358}{9}$$

Problema 2.5 (10 puntos) Considere la planta de la figura en que

$$G_1(s) = \frac{1}{s} \quad G_2(s) = \frac{-0.2s+1}{(s+3)^2}$$

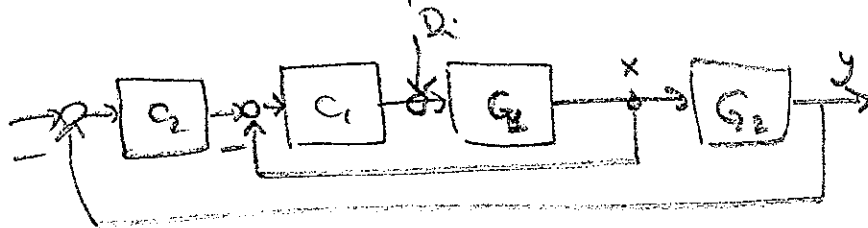
Se sabe que las perturbaciones de entrada son de tipo escalón y que es posible medir $x(t)$.

Determine un esquema de control indicando claramente cómo toma en cuenta los requisitos de diseño y la información disponible.



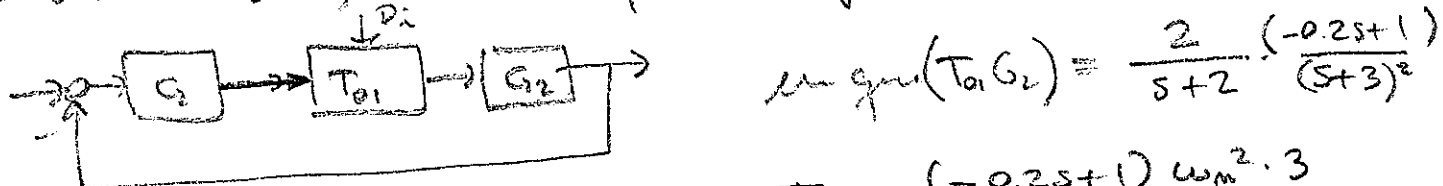
Solución

- Cero de F.N.M en $s=5 \Rightarrow \text{Bode}(h_d) > 5$
- Perturbaciones de entrada tipo escalón \Rightarrow controlador G_1 integración
- Integración en el planta + integración en el controlador
 \Rightarrow Habrá overshoot, pero que se puede evitar si se usa un esquema en cascada:



$\Rightarrow C_1(s)$ se diseña sola para estabilizar lazo interno: G_1G_2 sin integración
 sin overshoot: $A_{d1} = A_{01}L_1 + B_{01}P_1$
 $= s + K_1 \Rightarrow K_1 = 2$ (por ejemplo)

\Rightarrow Para diseñar $C_2(s)$, se obtiene planta ampliada



C_2 se puede diseñar usando donde $T_{02} = \frac{(-0.2s+1) w_m^2 \cdot 3}{(s^2 + 2\zeta w_m s + w_m^2)(s+3)}$

T_{02} es estable, mismo grado relativo de $(T_{01}G_2)$ y cero de FNM de $(T_{01}G_2)$:

$$\Rightarrow Q_2 = \frac{T_{02}}{T_{01}G_2} = \frac{(s+2)(s+3) w_m^2 \cdot 3}{(s^2 + 2\zeta w_m s + w_m^2) 2}$$

$$(T_{01}G_2) = \frac{2(-0.2s+1)}{(s+2)(s+3)^2}$$

$$\Rightarrow T_{02} = \frac{(-0.2s+1)}{(s^2 + 2\zeta\omega_n s + \omega_n^2)(s+3)} 3\omega_n^2$$

$$\Rightarrow Q_2 = \frac{T_{02}}{(T_{01}G_2)} = \frac{3\omega_n^2(s+2)(s+3)^2}{2(s^2 + 2\zeta\omega_n s + \omega_n^2)(s+3)}$$

$$\Rightarrow C_2 = \frac{Q_2}{1 - Q_2(T_{01}G_2)} = \frac{Q_2}{1 - T_{02}} = \frac{\frac{3\omega_n^2(s+2)(s+3)}{2(s^2 + 2\zeta\omega_n s + \omega_n^2)}}{1 - \frac{3\omega_n^2(-0.2s+1)}{(s^2 + 2\zeta\omega_n s + \omega_n^2)(s+3)}} \\ = \frac{3\omega_n^2(s+2)(s+3)^2}{2(s^2 + 2\zeta\omega_n s + \omega_n^2)(s+3) - 6\omega_n^2(0.2s+1)}$$

(donde se confirma que
 $C_2(s)$ es bi-propio y tiene
integración)

Problema 2.6 (10 puntos) Se desea controlar una planta con modelo nominal $G_0(s)$, sabiendo que existe error de modelado

$$|G_\Delta(j\omega)| \leq \frac{\omega}{\sqrt{\omega^2 + 1}}$$

Se hace un diseño tal que

$$T_o(s) = \frac{\alpha}{s + \alpha} \quad (\alpha > 0)$$

Determine el rango de valores de α tal que

$$0,75|S_o(j\omega)| \leq |S(j\omega)| \leq 1,25|S_o(j\omega)| \quad \forall \omega$$

Solución

- El requerimiento de desempeño robusto establece

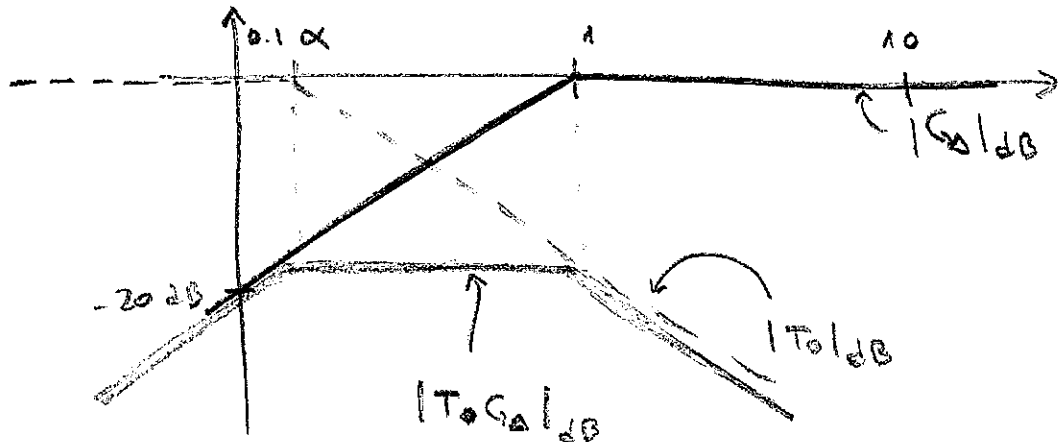
$$\frac{3}{4}|S_o| \leq \frac{1}{1 + |T_o G_0|} |S_o| \leq |S(j\omega)| \leq \frac{1}{1 - |T_o G_0|} |S_o| \leq \frac{5}{4} |S_o|$$

$$\Rightarrow \left\{ \begin{array}{l} 1 + |T_o G_0| \leq \frac{4}{3} \\ 1 - |T_o G_0| \geq \frac{4}{5} \end{array} \right. \Rightarrow |T_o G_0| \leq \frac{1}{3}$$

$$\Rightarrow |T_o G_0| \geq \frac{4}{5} \Rightarrow |T_o G_0| \leq \frac{1}{5} \quad \textcircled{*} \text{ condición más exigente.}$$

$$\Leftrightarrow |T_o G_0|_{dB} \leq -14 \text{ [dB]}$$

- $|T_o|$ y $|G_0|$ pueden representarse por sus asíntotas



Si $\alpha = 0.2$ la asíntota horizontal de $|T_o G_0|$ se ubicaría justamente en -20 dB \Rightarrow $\alpha < 0.2$

JYE - 5 de diciembre de 2016

(y $\alpha > 0$ para estabilidad)